

報 文

화학공학 제 5 권 제 2 호
J. KICHE, Vol. 5, No. 2
June, 1967

回分攪拌機內에서의 피마자油의
Sulfonation에關한研究

林 鎮 男*

Study on Sulfonation of Castor Oil in an Agitated Vessel

Rhim, Chin-Nam*

*Dept. of Chem. Eng., Hanyang Univ.

Experiments were carried out on the sulfonation of castor oil with concentrated sulfuric acid in an agitated vessel. In order to increase the contact intimacy of the heterogeneous reaction, R.P.M. was varied ranging from 500 to about 2500 or more. The concentration of sulfuric acid at any time, C was analyzed and the values of $\ln C/C_0$ at each time are plotted against the reaction time. From those plots, it is found that there are three different stages (or patterns) of reaction; the first stage with fast reaction rate, the second stage of transition from the first to the third and, the third stage with slow reaction rate diffusion controlling. Reaction rate, r, the moles of reacted sulfuric acid per liter per hour is represented as follows;

$$\text{First Stage} \quad r = 0.225 C (a/\phi)^{0.8}$$

$$\text{Second Stage} \quad d(r/C)/d\theta = 2.23 \times 10^{-2} (a/\phi)^{0.71}$$

$$\text{Diffusional Stage} \quad r = D(a/\phi)C$$

and (a/ϕ) is represented as follows,

$$(a/\phi) = 0.125 Q^{0.8} N_{Re}^{0.1}$$

where Q =mole ratio of sulfuric acid vs. castor oil

$$N_{Re} = \text{Reynolds number of agitation, } n'D_i^2 \rho_{min}/\mu_{mix}.$$

西紀 1875 年最初로 獨逸의 Köchlin에 依하여 sulfonated castor oil이 製造된 以來 많은 研究者에 依하여 다루어진 類似한 初期製法은 그 後 많은 變遷을 거쳐 1935 年代에 이르러 A. Van der Werth 와 F. Müller의 많은 特許에서 볼 수 있는 바와같이 hydrolysis 抑制劑 使用이라든가 또는 이 作用을 兼한 發煙黃酸에 依한 低溫處理 等으로부터 短時間에 되도록 多量의 黃酸을 結合하고 있는 生成物을 얻자는ne 力點이 두어진 것이 分明하였다. 그러나 1947 年에 이르러 當時까지 標準的인 製法이 없다고하여 提出된 I. S. Uppal¹⁾의 論文에서도 볼 수 있는 바와같이 25%의 黃酸을 高溫에

서 短時間에 作用시켜 使用된 酸의 7.2%를 最高로 結合시키는데 그쳤을 뿐 短時間의 反應이라고는 하지만 當者도 言及했드시 高溫일수록 反應中 副生하는 SO_3 에 依한 製品의 粗害 褐色性과 黃酸含量이 低調한 低質製品을 얻게된다는 點 등으로 미루어 이것도 滿足할만한 製法이 될 수는 없다. 그 後 今日에 이르기까지 sulfonated castor oil의 製法은 大同小異하며 castor oil을 攪拌하면서 이에 濃黃酸等을 注加한 後 短時間인 경우도 있지만 大概는 20 餘時間放置 後 中和하여 製品을 얻는다는데 그치고 있다. 本實驗에 있어서는 不均一相間의 反應인만큼 攪拌速度에 따르는 反應物質相互間의 接觸効率이라든가 또는 反應物質의 물混合比 等의 反應速度에 주는 影響等을 考慮으며, esterification 으로

* 漢陽大學校 工科大學 化學工學科

생긴 물의作用에 關하여도 最近에 이르러 비로소 生成物의 hydrolysis의 原因이 된다고 하였을뿐 過去 오랜 동안 副反應의 原因이라고 한 漠然한 解釋에 對하여도 이 實驗에서 물의 特異한 다음과 같은 作用이 判明되었음으로 特記해 둔다. 即 搅拌으로 分散된 濃黃酸液滴과 피마자油의 界面에 注目할 때 이 界面에서 esterification으로 생긴 물은 피마자油에 不溶이므로 界面의 黃酸相側에 蓄積되어 反應이 進行됨에 따라 薄은 물의 film이 形成되어 黃酸이 피마자油面에 到達하여 esterification反應이 일어나기에 앞서擴散해야 하는 擴散律速의 反應段階를 形成케 하며 前記 hydrolysis는 實은 生成물의 量이 相當量에 到達하여 黃酸液滴內의 黃酸濃度가 稀薄해진 反應의 終點近處에서 顯著해진다고 보는 것이 더욱 좋은 解釋이다. 따라서 生成되는 물의 量에 依해 反應樣狀이 달라지며 初期에는 生成된 물의 量이 적음으로 反應이 比較的 迅速히 進行되며 初期를 벗어나 물의 蓄積이 漸增하여 擴散段階로 옮기는 第2期인 轉移段階를 거쳐 第3段階인 擴散反應段階가 생기게 되는 것이다.

實驗裝置와 實驗方法

I. 實驗裝置

實驗에 使用된 裝置의 概要是 Fig. 1과 같다. 反應器는 內徑(D_t)이 130mm, 高가 185mm의 血型底를 가진 硬質鱗化비닐製로 槽內 壁에는 搅拌効果를 增大시키기 為하여 幅이 $0.1D_t$ 인 妨害板 4枚를 붙였고 搅拌翼으로서는 徑長 $D_i = \frac{1}{3} D_t$ 인 不銹鋼에 鹽化비닐을 塗布한 標準型 6枚平羽타빈을 使用하였고 이를 底面으로부터 38mm의 곳에 設置하였다. 이것을 恒溫槽에 넣어 反應溫度를 $30 \pm 1^\circ\text{C}$ 維持하였고 搅拌機에는 可變速度器를 붙여 그 回轉數를 任意로 變化시켰다.

II. 實驗方法

1) Castor Oil의 分子量推定: 使用한 castor oil의 鹼化價는 181, 酸價는 1.45, 沃度價는 86.13, hydroxyl價는 156.6이다. Castor oil의 glyceride를 構成하는 酸은 主로 ricinoleic acid로서 이以外에 oleic acid와 linoleic acid가 들어 있으므로 上記值를 使用하여서 平均分子量 930을 얻을 수 있었고 이는 他文獻值와도 近似하게 一致한다.

2) 實驗方法과 分析法: Castor oil을 以리 Fig. 1의 反應器에 넣어 低溫으로 冷却한 후 甚하게 搅拌하면서 濃黃酸을 亂수록 빨리 注入하고 溫度는 $30 \pm 1^\circ\text{C}$ 로 維持하였다. 可變速度器로 搅拌의 回轉數를 變化시켰다.

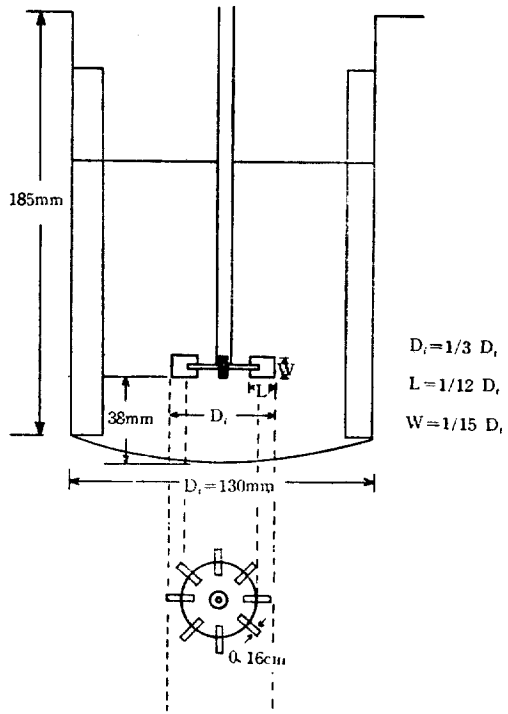


Fig. 1. Reaction Vessel

未反應한 채로 남아있는 黃酸의 量을 每時間 分析하여 이를 縱軸으로 取하고 橫軸 時間에 對하여 作圖하였다. 反應始作後 每時間마다 反應槽로부터 約 1g의 sample을 正確하게 小型 pipette로 吸引하여 이를 butanol에 溶解시켜 全量을 50cc로 稀釋하였다. 이로부터 10cc를 取하여 이에 약간 過量의 0.01M BaCl₂標準液을 加하여 BaSO₄의沈澱을 生成시키고 未反應의 Ba²⁺를 암모니아·알칼리性緩衝液添加로 pH=11로 하고 P.C. 指示藥의 赤色이 急退色할 때까지 0.01M E.D.T.A. 標準液으로 滴定함으로써 黃酸의濃度를 決定하였다.²⁾ 이 結果는 Fig. 2, Fig. 3, Fig. 4, Fig. 5와 같다.

Fig. 2로부터 알수 있는 바와같이 反應終期인 17時間頃부터는 緒論에서 言及한 바와같은 hydrolysis가 顯著해짐으로 Fig. 3 以後의 實驗으로부터는 17時間까지만 data를 取하였다.

實驗結果의 解析

Fig. 3, 4, 5로 부터 C/C_0 를 求하여 $\ln C/C_0$ 를 semi-log座標紙의 縱軸에, 時間을 橫軸에 取하여 作圖하여 Fig. 6, 7, 8을 얻었고 이 각 그림의 初期部分을 擴大하여 Fig. 9에 表示하였다.

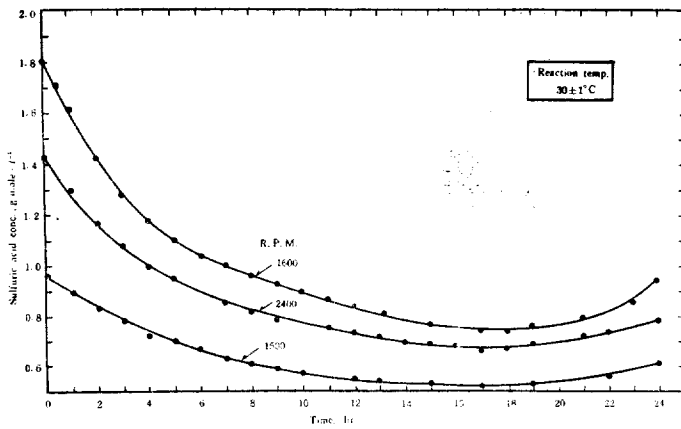


Fig. 2. Sulfuric Acid Conc. vs. Reaction Time

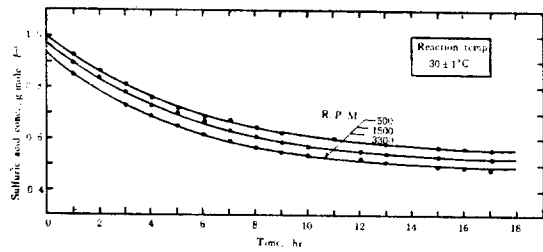


Fig. 3. Sulfuric Acid Conc. vs. Reaction Time

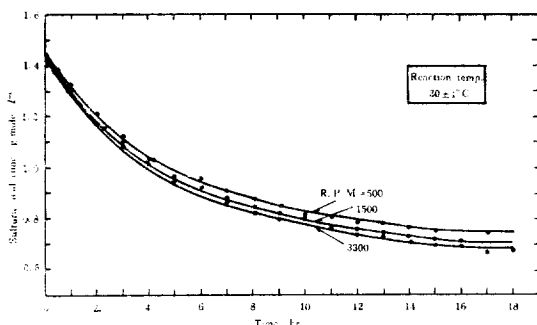


Fig. 4. Sulfuric Acid Conc. vs. Reaction Time

Fig. 6, 7, 8로부터 sulfonation 反應이 3段階를 거쳐進行됨을 볼수있다. 即 緒論에서 言及한 바와같이 esterification 으로 生긴 물의 量이 적은 첫 段階에 있어서 反應速度는 castor oil에 對한 黃酸의 相對量이 見수

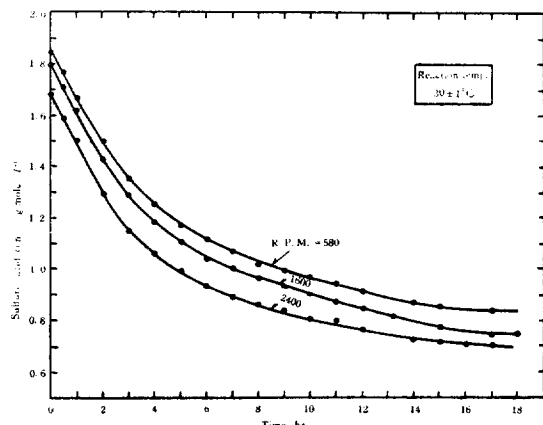


Fig. 5. Sulfuric Acid Conc. vs. Reaction Time

를 빨라졌고 또 搪拌速度 增大에 따르는 異相間의 接觸面積增大와 生成된 黃酸 ester 의 castor oil相內로의 混入의 促進等의 即 接觸効率의 增加에 따라서도 빨라지고 있다.

이 段階가 지나 反應으로 생긴 물의 量이 黃酸液滴側으로의 蓄積이 增加함에 따라 反應速度는 漸次로 減少되는 둘째 段階인 轉移段階를 거쳐 물의 蓄積이 더욱 增大되어 두 相間의 界面이 完全히 물의 薄은 膜層으로 둘러쌓여 castor oil面에서 이것과 反應할 黃酸分子의擴散이 強要된다고 考慮되는 그림에 直線部分으로 表示

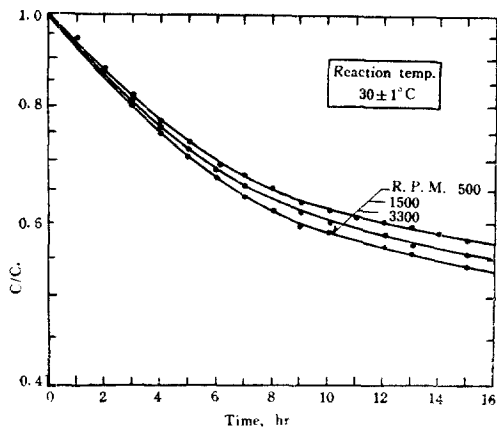


Fig. 6. C/C_0 vs. Reaction Time Derived from Fig. 3

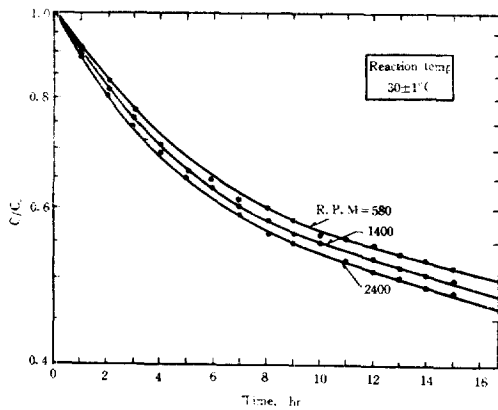


Fig. 7. C/C_0 vs. Reaction Time Derived from Fig. 4

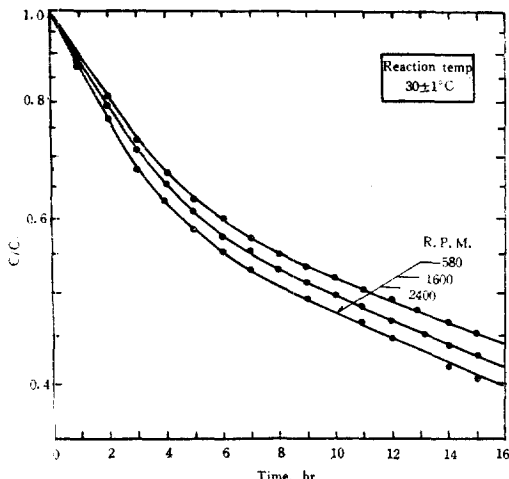


Fig. 8. C/C_0 vs. Reaction Time Derived from Fig. 5

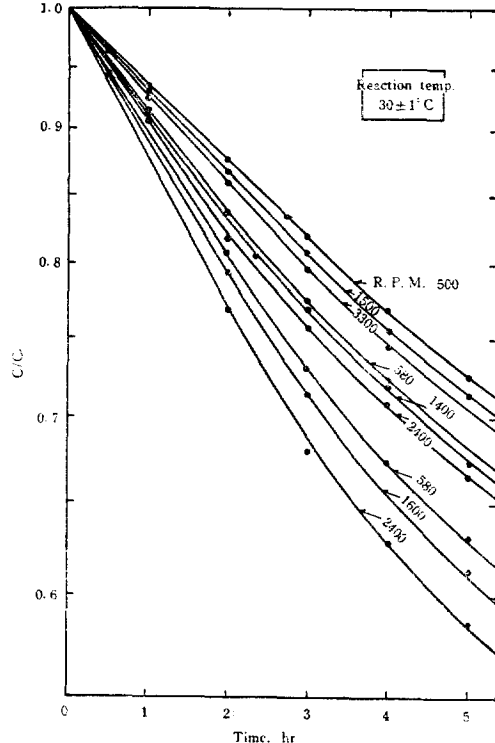


Fig. 9. Enlargement of the Initial Part in Fig. 6, 7, 8

된後半期의擴散律速反應의第3段階에서反應速度는 가장低調하다. 第1段階와第3段階의反應速度解析으로부터이反應의進行狀況即 그全貌를把握하는데充分하다.

I. 第3段階의 解析

이段階에있어서反應速度는擴散速度와같다³⁾.

$$-\frac{dC}{d\theta} = D \frac{a}{\phi} (C - C_i) \quad (1)$$

Castor面에到達한黃酸分子가castor oil分子속의反應基와反應하는速度가擴散速度에比해큰것으로考慮되므로 $C_i=0$ 로두면(1)式은다음과같아진다.

$$\frac{dC}{d\theta} = - \frac{DaC}{\psi} (\theta_B - \theta_A) \quad (2)$$

이로부터다음과같은積分式을얻을수있다.

$$\ln \frac{C_B}{C_A} = - \frac{Da}{\psi} (\theta_B - \theta_A) \quad (3)$$

여기 D 는稀薄水溶液內에서의 30°C 下의黃酸의擴散係數로서 $D=1.76\times 10^{-5}\text{cm}^2/\text{sec}=6.336\times 10^{-2}\text{cm}^2/\text{hr}$ 이다.

II. 第1段階의 解析

(3) 式을 使用하고 Fig. 6, 7, 8 等의 直線部分의 斜率 r_0 등을 다음의 Table 1에 總合해 실었다.

Tabel 1

Run No.	n(R. P. M)	Nominal Mole Ratio Castor Oil vs. H ₂ SO ₄	Actual Mole Ratio Castor Oil vs. H ₂ SO ₄	Initial H ₂ SO ₄ Concentration, C ₀ , mole/l	a/φ cm ⁻²	r ₀ , mole l ⁻¹ hr ⁻¹
1	500		1:1.020	0.99	0.2225	0.0650
2	1500	1:1	1:0.975	0.96	0.2508	0.0718
3	3300		1:1.008	0.92	0.2648	0.0756
4	580		1:1.534	1.45	0.3131	0.1290
5	1400	1:1.5	1:1.480	1.43	0.3346	0.1340
6	2400		1:1.510	1.43	0.3515	0.1400
7	580		1:2.000	1.85	0.4140	0.1940
8	1600	1:2	1:1.950	1.80	0.4470	0.2070
9	2400		1:1.840	1.69	0.4700	0.2180

反應速度가 castor oil 내의 結合手(二重結合과 OH 基 등)와 黃酸의 濃度 그리고 接觸効率(異相系反應이므로)等에 比例한 것임으로 反應速度는 다음과 같이 表示될 수 있다.

$$r = kC_{\text{Radical}}^q \cdot C^m \left(\frac{a}{\phi}\right)^n \quad (4)$$

그런데 castor oil 内의 結合手의 濃度(C_{Radical})가 黃酸의 濃度(C)에 比해相當히 크므로 이 濃度項을 反應速度定數와 둘어서 다음과 같이 有効反應速度定數를 規定하면

$$k_{\text{eff}} = kC_{\text{Radical}}^q \quad (5)$$

結局 反應速度는 다음 式으로 表示된다.

$$r = k_{\text{eff}} C^m \left(\frac{a}{\phi}\right)^n \quad (6)$$

여기 a/ϕ 는 두 反應相의 接觸効率(contact efficiency) E 와 相關되는 因子로서 反應의 初期와 後期에 걸쳐서 크게 變化하지 않는다고 生覺하였다. 即 $(a/\phi)_0 = (a/\phi)$. 여기서 接觸効率은 $E = \left(\frac{a}{\phi}\right)^n$ 이다.

(6) 式은 反應初期에도 成立할것임으로

$$r_0 = k_{\text{eff}} C_0^m \left(\frac{a}{\phi}\right)^n \quad (7)$$

$$= k_{\text{eff}} C_0^m \left(\frac{a}{\phi}\right)^n \quad (8)$$

$$\ln r_0 = \ln k_{\text{eff}} + m \ln C_0 + n \ln \left(\frac{a}{\phi}\right) \quad (9)$$

따라서 Table 1의 끝의 두 欄의 斜率 r_0 對 $\frac{a}{\phi}$ 를 各 nominal mole ratio 別로 雙對數座標紙에 作圖한 Fig. 10, 11, 12로 부터 $n=0.8$ 을 얻었다. 即

$$r = k_{\text{eff}} C^m \left(\frac{a}{\phi}\right)^{0.8} \quad (10)$$

$$r_0 = k_{\text{eff}} C_0^m \left(\frac{a}{\phi}\right)^{0.8} \quad (11)$$

을 읽고 또 Fig. 9 等을 參照하여 a/ϕ 와 初期反應速度

r_0 등을 다음의 Table 1에 總合해 실었다.

$$r_0 / \left(\frac{a}{\phi}\right)^{0.8} = k_{\text{eff}} C_0^m \quad (12)$$

$$\ln [r_0 / (a/\phi)^{0.8}] = \ln k_{\text{eff}} + m \ln C_0 \quad (13)$$

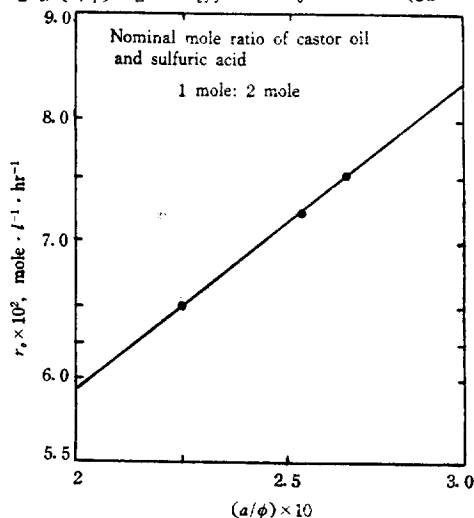


Fig. 10. Plot of r_0 vs. a/ϕ

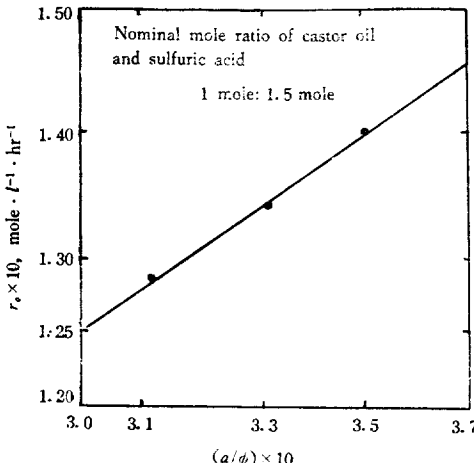


Fig. 11. Plot of r_0 vs. a/ϕ

Table 2

Run No.	Nominal Ratio, Castor Oil vs. H_2SO_4	Initial H_2SO_4 Concentration C_0 , mole/l	r_0 mole $l^{-1} \cdot hr^{-1}$	a/ϕ cm^{-2}	$E = (a/\phi)^{0.8}$	$[r_0(a/\phi)^{0.8}] \times 10$	$[r_0(a/\phi)^{0.8}] \times 10^{10}$ m_{sec}	C_0, mean
1	1:1	0.99	0.0650	0.2225	0.298	2.18	2.20	0.96
2		0.96	0.0718	0.2508	0.326	2.20		
3		0.92	0.0756	0.2648	0.340	2.22		
4	1:1.5	1.45	0.1290	0.3131	0.390	3.300	3.25	1.44
5		1.43	0.134	0.3346	0.410	3.27		
6		1.43	0.140	0.3515	0.430	3.18		
7	1:2.0	1.85	0.194	0.414	0.495	3.92	4.00	1.78
8		1.80	0.207	0.447	0.520	4.13		
9		1.69	0.218	0.470	0.546	3.95		

터 Table 2를 얻었다.

Table 2의 끝의 두 항의 값을 雙對數座標紙에 作圖하여 Fig. 13을 그렸고, 이로부터 $m=1.01 \approx 1.0$ 을, C_0

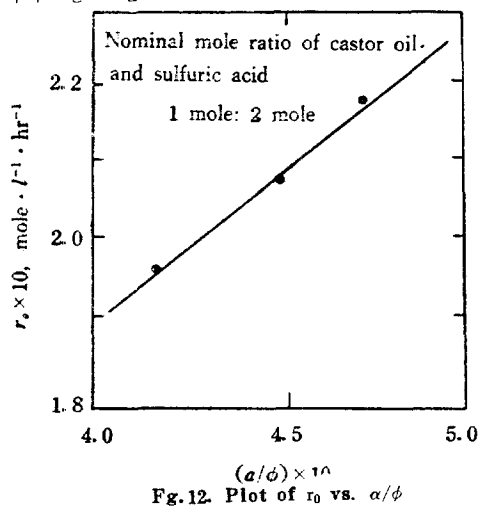


Fig. 12. Plot of r_0 vs. a/ϕ

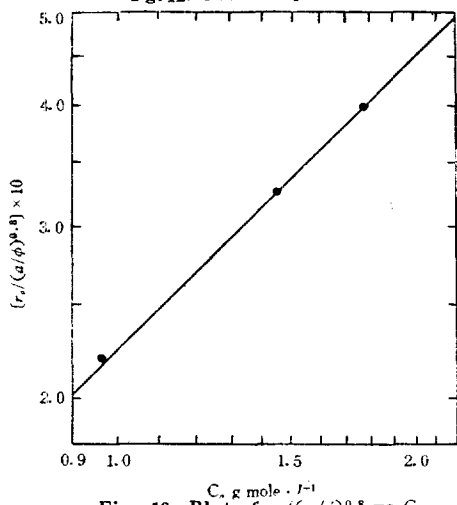


Fig. 13. Plot of $r_0/(a/\phi)^{0.8}$ vs C_0

即 (13) 式의 m 와 k_{eff} 를 얻기 為하여 Table 1로 부터 $k_{eff}=0.225hr^{-1}$ 를 얻었다.

따라서 얻은 反應速度式은 다음과 같다.

$$\text{처음段階의反應 } r = 0.255C\left(\frac{a}{\phi}\right)^{0.8} \quad (14)$$

$$\text{擴散同伴의第3段階의反應 } r = D\left(\frac{a}{\phi}\right)C \quad (15)$$

처음段階의反應에서擴散同伴의第3段階의反應 사이에는轉移段階의反應域이存在한다.

(14)式과 (15)式의積分型은各各 다음과 같음으로

$$\ln \frac{C}{C_0} = -0.255 \left(\frac{a}{\phi}\right)^{0.8} \theta \quad (16)$$

$$\ln \frac{C_B}{C_A} = -D\left(\frac{a}{\phi}\right)(\theta_B - \theta_A) \quad (17)$$

$\frac{a}{\phi}$ 만 알면最少한個의擴散段階의實測值로부터

(17)과 (16)式에依해後期의直線部分과初期部分의反應을 나타내는線을그릴수있고다음에는이두부분을圓滑하게連結함으로써轉移段階의더불어反應의全模即 $\ln C/C_0$ 對 θ 를거이正確하게알수있는데이轉移段階에關하여는考覈에서詳論하였다.

III. a/ϕ 의豫則

Table 1과 Table 2로 부터 a/ϕ 가黃酸의濃度와攪拌速度의增加에 따라增加함을 볼 수 있음으로

$$\frac{a}{\phi} = f\left(\frac{\text{Moles of } H_2SO_4}{\text{Moles of Castor Oil}}, N_{Re}\right) \quad (18)$$

로 둘 수 있고 따라서 다음과 같이表示된다.

$$\frac{a}{\phi} = \alpha \Omega^\beta N_{Re}^\gamma \quad (19)$$

이로부터

$$\ln \left(\frac{a}{\phi}\right) = \ln \alpha + \beta \ln \Omega + \gamma \ln N_{Re} \quad (20)$$

(20)의 α , β , γ 를決定하기 為하여前記Table과使用된物質의物性值들을Table 3에總合하였다.

Table 3

Run No	$a/\phi, \text{cm}^{-2}$	N(R. P. M.)	$\mu_{\text{mix}} \text{at } 30^\circ\text{C}, \text{poise}$	$\rho_{\text{mix}} \text{at } 30^\circ\text{C}, \text{g/cc}$	$N_{Re} = N'D^2_i \rho_{\text{mix}} / \mu_{\text{mix}}$	Mole Ratio of H ₂ SO ₄ vs. Castor Oil, Ω	Ω_{mean}
1	0.2225	500	0.589	1.010	285	1.020	
2	0.2508	1500	0.587	1.018	815	0.975	1.001
3	0.2648	3300	0.424	1.012	2470	1.008	
4	0.3131	580	0.533	1.030	351	1.534	
5	0.3346	1400	0.488	1.070	963	1.480	1.508
6	0.3515	2400	0.485	1.030	1600	1.510	
7	0.414	580	0.472	1.050	510	2.00	
8	0.447	1600	0.374	1.050	1410	1.95	1.930
9	0.470	2400	0.342	1.034	2270	1.84	

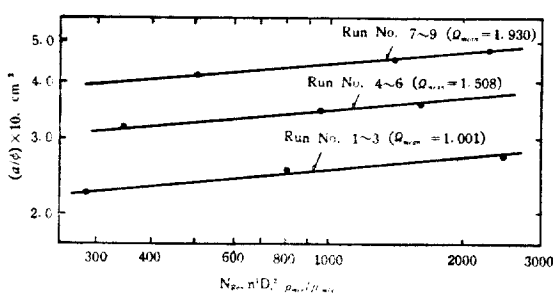
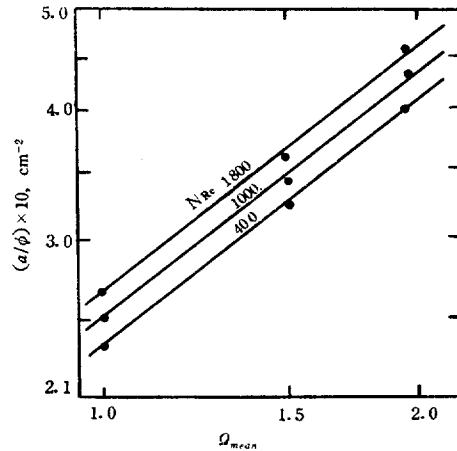
Fig. 14. Plot of a/ϕ vs N_{Re}

Table 3으로부터 a/ϕ 对 N_{Re} 를 각각 $\Omega_{\text{mean}}=1.001, 1.508, 1.930$ 別로 雙對數座標紙에 作圖하여 Fig. 14 를 얻었고 이로부터 $\gamma=0.1$ 을 얻었다. 다음에 Fig. 14 로부터同一한 N_{Re} 에 对한 a/ϕ 의 値을 읽어 이를 Ω_{mean} 에 對하여 각각 $N_{Re}=400, 1000, 1800$ 別로 作圖하여 Fig. 15 를 얻었다. 이로부터 $\beta=0.8$ 이 나온다.

Fig. 15. Plot of a/ϕ vs Ω_{mean}
따라서 (19)式은 다음과 같아진다.

$$\frac{a}{\phi} = \alpha \Omega^{0.8} N_{Re}^{0.1} \quad (21)$$

Table 4.

Run No.	$a/\phi, \text{cm}^{-2}$	N_{Re}	Ω	$\Omega^{0.8}$	$N_{Re}^{0.1}$	$\Omega^{0.8} N_{Re}^{1.0}$	$\frac{a}{\phi} = 0.125 \Omega^{0.8} N_{Re}^{0.1}$	Percent Error Based on the Values of Column 2
1	0.2225	285	1.020	1.016	1.760	1.79	0.222	-0.22%
2	0.2508	815	0.975	0.985	1.955	1.92	0.240	-4.20
3	0.2648	2470	1.008	1.007	2.220	2.24	0.280	+5.30
4	0.3131	351	1.534	1.410	1.796	2.53	0.316	+2.90
5	0.3346	963	1.480	1.368	1.988	2.73	0.341	+1.80
6	0.3515	1600	1.51	1.390	2.090	2.90	0.362	+2.80
7	0.414	510	2.00	1.740	1.866	3.25	0.405	+2.0
8	0.447	1410	1.95	1.705	2.060	3.52	0.440	-1.5
9	0.470	2270	1.84	1.630	2.190	3.57	0.447	+5.0

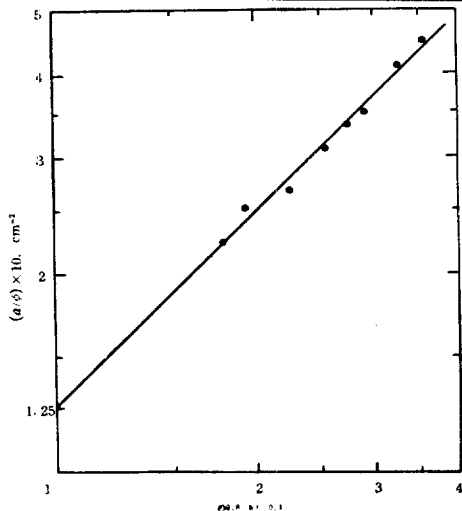
α 를 얻기 為하여 Table 3 등으로부터 Table 4 를 얻었고 이 Table 속의 값 a/ϕ 를 $\Omega^{0.8} N_{Re}^{0.1}$ 에 對하여 雙對數座標紙에 作圖하여 Fig. 16(傾斜은 1)을 얻었고 이로부터 $\alpha=0.125 \text{cm}^{-2}$ 을 얻었다. 이것을 (21)式에 代入한 $a/\phi=0.125 \Omega^{0.8} N_{Re}^{0.1}$ 式에 依하여 얻은 計算値를

Table 4의 8番째 欄에 記載하였고 둘째 欄의 a/ϕ 實測值를 基準으로 한 誤差를 끝 欄에 실었다.

더욱 $a/\phi=0.125 \Omega^{0.8} N_{Re}^{0.1}$ 式으로부터 얻은 a/ϕ 値을 第1段階의 反應速度를 나타내는 式 $-d(\ln C/C_0)/d\theta = 0.225(a/\phi)^{0.8}$ 代入, 實測值와 比較하였다.

Table 5

Run No.	a/ϕ	$(a/\phi)^{0.8}$	$-d(\ln C/C_0)/d\theta$	Percent Error based on the Measured Values from Fig 9	Percent Error based on the Values from Fig 9
1	0.222	0.288	0.0649	0.0650	-0.15%
2	0.240	0.338	0.0760	0.0733	+3.68%
3	0.280	0.362	0.0812	0.0757	+7.2%
4	0.316	0.398	0.0895	0.089	+0.56%
5	0.341	0.421	0.0947	0.093	+1.81%
6	0.362	0.435	0.0978	0.097	-0.82%
7	0.405	0.486	0.1092	0.104	+5.0%
8	0.440	0.520	0.2166	0.115	+1.4%
9	0.447	0.528	0.1180	0.126	-5.9%

Fig. 16. Plot of a/ϕ vs. $Q^{0.8}N_{Re}^{-0.1}$

考 察

1. Castor oil 내에는 glyceride를構成하는 酸의 80乃至 87%⁴⁾가 ricinol酸(二重結合 1개, OH基 1개含有)으로 黃酸과 castor oil의 물混合比가 2 mole : 1 mole인 경우에 있어서도 黃酸 2 mole에 對하여

最少 $0.8 \times 6 = 4.8$ mole 以上의 結合手가 있어 모든 물混合比에 對하여 castor oil의 結合手의 물數는 黃酸 1 mole에 對하여 2.4倍 以上이 되므로 $kC^q_{\text{Radical}} = k_{eff}$ 로 生覺하였던 것인데 Table 4, 5의 percent error欄에서 볼 수 있는 바와 같이 좋은 結果를 얻음으로 이는妥當한 着想이다.

2. (6)式에 나타나는 接觸効率 $E=(a/\phi)^n$ 는 無 dimension 數이다. 即 $E=[(a/\phi)/(a/\phi)_{max}]^n$ 로서 $(a/\phi)_{max}=1\text{cm}^{-2}$ 일 때 $E_{max}=1$ 이고 또 逆으로 $E_{max}=1$ 일 때 $(a/\phi)_{max}=1\text{cm}^{-2}$ 이 됨으로 $E=(a/\phi)^n$ 는 그대로 無次元의 接觸効率이 되는 것이다.

3. Table 3에 나타나는 μ_{mix} 와 ρ_{mix} 는 castor oil과 濃黃酸의 heterogeneous mixture의 粘度와 密度를 나타낸 것으로서 特히 μ_{mix} 는 castor oil에의 分散相이 물이 아니라 濃黃酸인 關係로 emulsion의 粘度를 나타내는 諸式을 適用할 수 없을 뿐만 아니라 適當한 推定法이 없고 Ostwald의 粘度計로도 計器內에서 esterification反應등이 進行됨으로 因하여 그正確한 誤을 测定할 수 없었음으로 不得已 成分 1과 2의 均一混合物의 粘度를 求하는데 쓰히는 式인 $\mu_{mix}=\mu_1^{x_1} \cdot \mu_2^{x_2}$ (여기는 물分率)로 計算하여 얻은 μ_{mix} 를 使用하였는데 Fig. 16, Table 4, 5에서 보는 바와 같이 良好한 結果를 招來하였음으로 上記式의 使用이 良好할 뿐만 아니라 便利하기도 한 것으로 生覺된다.

4. 여기서 第2의 轉移段階의 反應에 對하여 考察해 보고자한다. 第1段階의 反應速度式 $r=0.225(a/\phi)^{0.8}C$ 와 第3段階의 反應速度式 $r=D(a/\phi)C$ 로부터 각각 $r/C=0.225(a/\phi)^{0.8}\dots(A)$, $r/C=D(a/\phi)\dots(B)$

인데 그림 6, 7, 8 등을 參照하여보면 第1段階が 反應開始後 大略 3時間까지이고 그後 10時間頃에서 第3段階로 進入하였음으로 第2의 轉移段階는 3~10時間 사이가 된다. 따라서 다음 Table 6의 (A), (B)式의 r 과 反應時間과의 關係를 表示하면 Fig. 17과 같으며 各段階를 容易하게 区分할 수 있다. Fig. 17로부터 얻

Table 6

Run No.	(a/ϕ)	$(a/\phi)^{0.8}$	$r/C = 0.225(a/\phi)^{0.8}$	$r/C = D(a/\phi)$	$\frac{d(r/C)}{db}$	$Q^{0.8}N_{Re}^{-0.1}$
1	0.2225	0.298	0.0649	0.0141	0.73×10^{-2}	1.79
2	0.2508	0.326	0.0760	0.0159	$0.86 \times "$	1.92
3	0.2648	0.340	0.0812	0.0168	$0.92 \times "$	2.24
4	0.3131	0.390	0.0895	0.0198	$1.00 \times "$	2.53
5	0.3346	0.410	0.0947	0.0212	$1.05 \times "$	2.73
6	0.3515	0.430	0.0978	0.0223	$1.08 \times "$	2.90
7	0.414	0.495	0.1092	0.0262	$1.20 \times "$	3.25
8	0.447	0.520	0.1166	0.0283	$1.26 \times "$	3.52
9	0.470	0.546	0.11802	0.0298	$1.26 \times "$	3.57

$$D = 6.336 \times 10^{-2} \text{cm}^2/\text{hr}$$

은 $d(r/C)/d\theta$ 의 값을 Table 6에記載하였고 이것과無次元數 $\Omega^{0.8}N_{Re}^{0.1}$ 와의 log-log plot을 Fig. 18로부터 $d(r/C)/d\theta=0.51 \times 10^{-2}(\Omega^{0.8}N_{Re}^{0.1})^{0.71}$ 을 얻었다. 이것이第2의轉移段階의反應速度를 나타내는式으로서轉移段階의兩端의값을알때容易하게풀수있으며그結果나온式은 $\ln C/C_0$ 가 θ 의2次函數의型으로서Fig. 6, 7, 8의轉移段階의曲線部를나타내고있다. 다만그兩端境界值를各該當Fig로부터얼마나正確히읽어내느냐에따라式의精度도決定되는것으로서이는Fig. 18에서도쉽게看破된다.

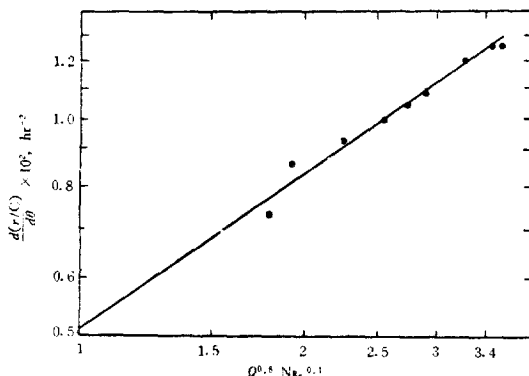


Fig. 18. Plot of $d(r/C)/d\theta$ vs $\Omega^{0.8}N_{Re}^{0.1}$

結論

1. 搅拌槽内에서 castor oil의濃黃酸에依한 sulfonation反應은生成된 물의最과關聯하여第1, 第2, 第3段階를 거쳐進行된다. 即 第1段階는 물의生成이極히 적어서兩相의界面이거의全部直接接觸하고있어反應이相當히빠르고攪拌速度의增大에따르는界面更新度가빨라서反應速度가빨라지는段階로서esterification으로생긴물의film이兩相의interface를部分으로cover하기始作하는第2段階가곧出現함으로大端히짧은期間(約3時間)이다. 물film에依한cover가漸漸擴大되어감에따라反應速度는漸次로減少되어乃終에는完全히cover되어이물의얇은film을黃酸分子가擴散해야하는擴散律速의第3段階로進入된다. 이때의反應速度는 r/C 로計算하여

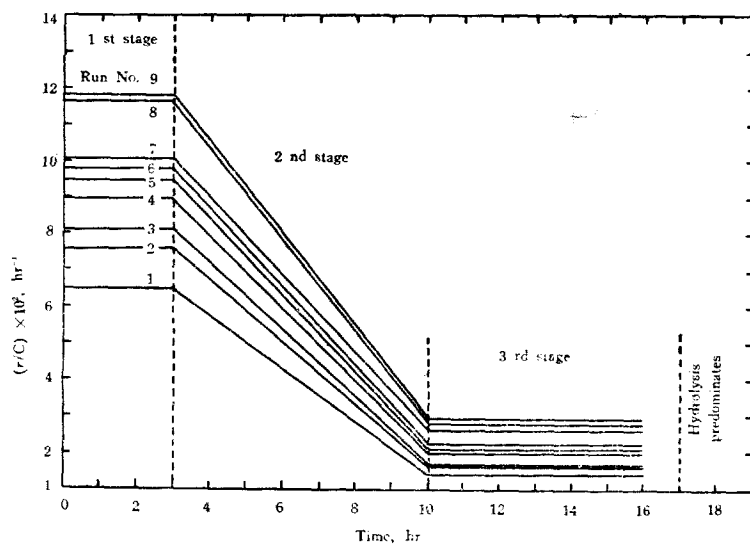


Fig. 17. Plot of r/C vs Reaction Time

第1段階에比해平均4.3分의1로떨어진다. 이以上的反應으로생긴물은顯著한hydrolysis의原因이된다. 이들各段階는Fig. 17에明示되어있다.

2. 各段階의反應速度式은 다음과같이表示되고

$$\text{第1段階 } r = 0.225(a/\phi)^{0.8}C$$

$$\begin{aligned} \text{第2段階 } d(r/C)/d\theta &= 0.51 \times 10^{-2}(\Omega^{0.8}N_{Re}^{0.1})^{0.71} \\ &= 2.23 \times 10^{-2} \left(\frac{a}{\phi} \right)^{0.71} \end{aligned}$$

$$\text{第3段階 } r = D(a/\phi)C$$

위式들과第3段階의擴散段階의分析值로부터反應의全模를推定할수있다.

3. 不均一相反應에對한接觸効率과密接한關係가있는 a/ϕ 는 다음과같은無次元群으로計算된다.

$$a/\phi = 0.125\Omega^{0.8}N_{Re}^{0.1}$$

以上의諸式들은Table 4, 5의誤差欄에서볼수있는바와같이相當히正確한結果를준다.

記號

a : contact area per unit volume	[cm² · cm⁻³]
C : sulfuric acid concentration	[mole · l⁻¹]
C_0 : initial sulfuric acid concentration	[mole · l⁻¹]
$C_{0, mean}$: mean value of C_0	[mole · l⁻¹]
C_i : sulfuric acid concentration at the interface	[mole · l⁻¹]
C_A, C_B : sulfuric acid concentration at time θ_A and θ_B respectively in the stage of diffusion control reaction	[mole · l⁻¹]
$C_{Radical}$: concentration of radical in castor oil	[mole · l⁻¹]

D : diffusion constant	[cm ² ·sec ⁻¹]	ϕ : diffusion distance	[cm]
D_t : internal diameter of reaction vessel	[cm]	$(a/\phi)_0$: initial value of (a/ϕ)	[cm ⁻²]
D_i : impeller diameter	[cm]	θ : reaction time	[hr]
E : contact efficiency		θ_A, θ_B : reation time in the diffusion controlling stage [hr]	
k : reaction rate constant		ρ_{mix} : density of sulfuric acid and castor oil mixture	
k_{eff} : effective reaction rate constant	[hr ⁻¹]		[g·cm ⁻³]
L : blade width	[mm]	μ_{mix} : viscosity of sulfuric acid and castor oil mixture	
m : number of order			[poise]
N : r.p.m.	[min ⁻¹]	Ω : mole ratio of sulfuric acid vs. castor oil	
N' : r.p.s.	[sec ⁻¹]	Ω_{mean} : mean value of Ω	
$N_{Re}(N'D^2\rho_{mix}/\mu_{mix})$: Reynolds number of agittaion			
n : number of order			
q : number of order			
r : reaction rate, moles of reacted sulfuric acid per liter per hour	[mole·l ⁻¹ ·hr ⁻¹]		
r_0 : initial reaction rate	[mole·l ⁻¹ ·hr ⁻¹]		
W : blade height	[mm]		
α : coefficient	[cm ⁻²]		
β, γ : number of power			

文 獻

1. I.S. Uppal: Indian Textile J., 57, 1016~19(1947)
2. Keihei Ueno; Chalate Titration, 南江堂, 東京
3. Hougen & Watson; Chemical Process Principles Vol. III, John Wiley Book Co.
4. 日本油化學協會編; 油脂化學便覽, 1958 丸善